

استفاده از تبدیل Karhunen-Loeve در پردازش داده‌های لرزه‌ای سه‌بعدی

حمدیرضا سیاهکوهی*

چکیده

رکوردهای حاصل از برداشت لرزه‌ای بازتابی معمولاً دارای نویسه‌های لرزه‌ای همدوسی^۱ هستند که توسط چشمی انرژی لرزه‌ای تولید می‌شوند. امواج هوا^۲ و امواج سطحی^۳ از جمله این نویسه‌ها می‌باشند. حذف نویسه‌های لرزه‌ای همدوس از رکوردهای لرزه‌ای بازتابی بعنوان یکی از مراحل مهم پردازش بشمار می‌آید. در مطالعات لرزه‌نگاری سه‌بعدی که در مقیاس پروژه‌های مهندسی برداشت می‌شوند می‌آید. در این نوع برداشت‌ها فاصله نمونه برداری در حیطه مکان یکنواخت نبوده و همپوشانی قابل ملاحظه بین طیف بسامدی نویسه‌های همدوس و انرژی لرزه‌ای بازتابیده شده وجود دارد. در این مطالعه کارآیی تبدیل K-L (Karhunen-Loeve) برای حذف امواج هوا از رکوردهای لرزه‌ای سه‌بعدی در مقیاس مهندسی مورد بررسی قرار گرفته است. نتایج بدست آمده از این مطالعه نشان می‌دهند که تبدیل K-L قادر است نویسه‌های لرزه‌ای همدوس را بصورت بهینه‌ای در رکوردهای لرزه‌ای (با وجود عدم یکنواختی فاصله نمونه برداری در حیطه مکان و همپوشانی طیف دامنه‌ها) از سایر انرژی‌های لرزه‌ای همدوس و یا غیرهمدوس تفکیک نماید.

کلیدواژه‌ها: تبدیل K-L، حذف نویسه لرزه‌ای، لرزه بازتابی سه‌بعدی، پردازش داده‌های لرزه‌ای بازتابی، امواج هوا.

۱ مقدمه

در برداشت‌های لرزه‌ای بازتابی بمنظور مطالعه اهداف در اعماق زیاد (همچون پی‌جوبی مخازن هیدروکربورها)، امواج هوا مزاحمت زیادی ایجاد نمی‌کنند زیرا چشممه‌های انرژی بکار رفته یا ایجاد موج هوا نمی‌کنند (مثل نوع ارتعاشی) و یا اینکه بمنظور جلوگیری از اتلاف انرژی لرزه‌ای حاصل و کاهش خطرات احتمالی ناشی از انفجار، چشممه

امواج هوا در مطالعات لرزه‌نگاری به قسمتی از انرژی لرزه‌ای ایجاد شده توسط چشممه اطلاق می‌شود که پس از طی مسیری در هوا به گیرنده‌های نصب شده در سطح زمین بررسد. این امواج از نوع امواج کشسان تراکمی بوده و در زمرة نویسه‌های همدوس ایجاد شده توسط چشممه انرژی لرزه‌ای می‌باشند.

1. coherent waves 2. air waves
3. surface waves

* موسسه ژئوفیزیک دانشگاه تهران، صندوق پستی ۱۴۱۵۵-۶۴۶۶، تهران.

منتفسی بوده و برای حذف امواج هوا می‌بایست از شکل‌های تکمیل یافته‌تر تبدیلهای فوق استفاده کرد و یا اینکه روش‌های دیگری را برای این منظور آزمود. این مطالعه توانایی تبدیل K-L را بعنوان روشی مستقل از یکنواختی فاصله نمونه‌برداری در پردازش رکوردهای لرزه‌ای بازتابی سه‌بعدی مورد بررسی قرار داده است.

۲ تاریخچه تبدیل K-L

تبدیل K-L برای اولین بار در سال ۱۹۳۳ توسط هتلینگ^۱ برای طبقه‌بندی نتایج حاصل از سنجش‌های مختلف روانشناسی بکار گرفته شد. در سال ۱۹۴۷ این روش توسط کارهونن^۲ برای بسط پاسخ گیرنده تک کاناله نجومی به توابع متعامد مورد استفاده قرار گرفت و در سال ۱۹۵۵ کارهای کارهونن توسط لاو^۳ با بکارگیری مفاهیم آماری توسعه یافت و به پاس زحمات این دو نفر بعنوان تبدیل کارهونن-لاو (K-L) نامگذاری گردید. در سال ۱۹۶۵ اولین مورد از بکارگیری تبدیل K-L بر روی داده‌های چندکاناله^۴ با بکارگیری ریاضیات ماتریسی توسط کرامر و ماتیوز^۵ انجام گرفت. تبدیل K-L در زمینه‌هایی همچون پزشکی (تحلیل نوار قلب) و پردازش تصویر^۱ (احمد و رائو^۶، ۱۹۷۵) هم کاربردی داشته که اشاره به تاریخچه آنها از حوصله این بحث خارج است. اولین کاربرد این تبدیل در مسائل ژئوفیزیکی توسط همون^۷ در سال ۱۹۷۸ انجام گرفت. وی بجای روش متداول بر ابارش^۸ از تبدیل CDP K-L برای تهیه مقاطع لرزه‌ای از رکوردهای

انفجاری را در زیر سطح زمین مدفون می‌کند. بر عکس، در برداشت‌های لرزه‌نگاری بمنظور مطالعه اهداف نزدیک به سطح (تا عمق ۲۰۰ متر که اصطلاحاً لرزه‌نگاری مهندسی نامیده می‌شود) علی‌رغم بکارگیری روش‌های صحرایی جهت پیشگیری از ثبت شدن امواج هوا، معمولاً بخشی از رکوردهای لرزه‌ای توسط این امواج پوشانده می‌شوند. شکل ۱ نمونه‌ای از رکورد لرزه‌ای بازتابی چشم‌هه مشترک را که در برداشت لرزه‌ای سه‌بعدی توسط ۹۶ گیرنده موج P ثبت شده‌اند، نشان می‌دهد.

امواج هوا بخاطر مسیر انتشار کوتاهشان بین چشم‌هه و گیرنده بخش عمده‌ای از محتوای بسامدی انرژی لرزه‌ای تولید شده توسط چشم‌هه را دارا بوده و طیف آنها همپوشانی قابل توجهی با محتوای بسامدی انرژی لرزه‌ای بازتابیده شده دارد. از این‌رو حذف این امواج با استفاده از صافی‌های بسامدی (همچون صافی بالاگذر، میانگذر و یا پایین‌گذر) ممکن نبوده و می‌بایست از تبدیلهای دوی بعدی مناسبی (همچون تبدیلهای P-F-K^۹ و F-P^{۱۰} و نظری آنها) برای این منظور استفاده شود. تبدیلهای دوی بعدی معمولاً بر این فرض مبتنی هستند که عمل نمونه‌برداری در هر کدام از بعدها (در اینجا مکان و زمان) با فواصل معین و یکنواختی صورت گرفته است: این فرض در مورد مطالعات لرزه‌ای دوی بعدی در صورت نبود موافع برداشت صادق است، ولی در لرزه‌نگاری سه‌بعدی بخاطر توزیع سطحی موقعیت چشم‌هه و گیرنده‌ها (شکل ۲) امر یکنواخت بودن فاصله نمونه‌برداری در بعد مکان

1. Hotelling

2. Karhunen

3. Loeve

4. multi channel

5. Kramer & Mathews

6. image processing

7. Ahmad & Rao

8. Hemon

9. stack

که در آن $\sum_{j=1}^m b_{ij} Y_j(t)$ (یک ماتریس $n \times n$) یا ماتریس عکس تبدیل می‌باشند. همانطور که در شکل ۳ بصورت ترسیمی نشان داده شده است، با استفاده از رابطه ۲ و با بکارگیری تعداد معینی (مثلاً m) از مولفه‌های اصلی $(t) Y_j$ می‌توان رکورد اولیه را بصورت تقریبی بدست آورد. یعنی استفاده کرد.

$$\tilde{X}_i(t) = \sum_{j=1}^m b_{ij} Y_j(t) \quad i=1,2,\dots,n, \quad m < n \quad (3)$$

که در آن رکورد $(t) X_i$ تقریبی از رکورد اولیه می‌باشد. اگر اختلاف بین رکورد اولیه و شکل تقریبی آن را با Φ نشان دهیم، ضرایب a_{ij} و b_{ij} با استفاده از روش کمترین مربعات طوری تعیین خواهد شد که Φ حداقل مقدار را داشته باشد، یعنی

$$\Phi(m) = \int_0^T \sum_{i=1}^n (X_i(t) - \tilde{X}_i(t))^2 dt \quad (4)$$

شرط کمینه بودن $\Phi(m)$ ایجاب می‌کند که مشتق جزیی آن نسبت به ضرایب a_{ij} و b_{ij} مساوی صفر باشد، یعنی

$$\frac{\delta \Phi(m)}{\delta a_{ij}} = 0 \quad \text{و} \quad \frac{\delta \Phi(m)}{\delta b_{ij}} = 0$$

با اعمال شرایط فوق ماتریس‌های تبدیل بصورت زیر بدست خواهد آمد (به ضمیمه مقاله کرامر و ماتیوز ۱۹۶۵) مراجعه شود

$$A^T = B = R \quad (5)$$

که در آن R یک ماتریس $(n \times n)$ بوده و ستونهای آن شامل بردارهای ویژه ماتریس کوارینس ترسیه‌های اولیه (یعنی $X_i(t)$ در تاخیر صفر) است.

۳ مبانی ریاضی تبدیل K-L

در تبدیل K-L هر ترسیم از رکورد لرزه‌ای بصورت برداری تلقی می‌شود. این تبدیل با استفاده از بردارهای ویژه ماتریس کوارینس داده‌های ورودی (در تاخیر صفر) تعدادی ترسیم جدید را که متعامد هم هستند محاسبه می‌کند. ترسیم‌های متعامد حاصل از تبدیل را مولفه‌های اصلی^۱ هم می‌نامند.

این ترسیم‌های متعامد یا مولفه‌های اصلی معمولاً بر حسب میزان انرژی موجود در آنها مرتب می‌شوند. بطوری که مولفه اصلی اول نماینده آن قسمت از انرژی لرزه‌ای در رکورد اولیه خواهد بود که بیشترین وارینس را دارد. روابط ریاضی تبدیل و جزیبات بیشتر آن در زیر آورده شده است.

هر گاه $(t) X_i$ نشانگر یک رکورد لرزه‌ای با $X_i(t)$ ترسیم باشد به کمک ترکیب خطی رکورد $(t) X_i$ می‌توان مجموعه جدیدی از ترسیم‌ها را بصورت زیر ایجاد نمود

$$Y_j(t) = \sum_{i=1}^n a_{ij} X_i(t) \quad j = 1,2,\dots,n \quad 0 \leq t \leq T \quad (1)$$

که در آن T پنجراهی از ترسیم لرزه‌ای، a_{ij} اعضا ماتریس تبدیل A (یک ماتریس $n \times n$) بوده و $(t) Y_j$ بوده مجموعه n ترسیم جدید حاصل از اعمال تبدیل می‌باشد. ترسیم‌های اولیه را مجدداً می‌توان با انجام عکس تبدیل بازسازی نمود. شکل ریاضی عکس تبدیل بصورت زیر خواهد بود

$$X_i(t) = \sum_{j=1}^n b_{ij} Y_j(t) \quad j = 1,2,\dots,n \quad (2)$$

گرفت که ماتریس Λ در واقع همان ماتریس کوارینس تریس‌های $(t) Y_j$ (در تاخیر صفر) بوده و بصورت زیر بیان می‌گردد

$$\Lambda = YY^T \quad \text{یا} \quad \lambda_j = \int_0^T y_j(t)^2 dt$$

همچنین با استناد به رابطه اخیر می‌توان اظهار داشت که قطری بودن ماتریس کوارینس Λ ممکن است که متعامد بودن تریس‌های $(t) Y_j$ حاصل از تبدیل $K-L$ می‌باشد. پس اگر هدف از بکارگیری تبدیل $K-L$ بازسازی انرژی همدوس رکورد اولیه باشد در اینصورت انجام عکس تبدیل $K-L$ با بکارگیری چند تریس اول یا مولفه اصلی اول (آنها می‌باشند) کافیت خواهد شد. بر عکس، ویژه بزرگتری دارند) کافیت خواهد شد. بر عکس، اگر مطلوب استخراج انرژی غیر همدوس از داده‌های اولیه باشد، بکارگیری چند تریس آخر یا مولفه اصلی آخر (آنها می‌باشند) کافیت خواهد شد. هرگاه بازسازی عین داده‌های اولیه موردنظر باشد بایستی از همه تریس‌های مجموعه $(t) Y_j$ استفاده شود.

۴ کاربرد تبدیل $K-L$

این تبدیل برای اهداف مختلفی در پردازش داده‌های لرزه‌ای بازتابی مورد استفاده قرار گرفته است. حذف نویسه‌های همدوس و غیر همدوس (لوی^۱ و همکاران، ۱۹۸۳)، تهیه مقطع لرزه‌ای (اولریخ^۲ و همکاران، ۱۹۸۳ و همون و میس^۳، ۱۹۷۸)، تحلیل خوش‌های^۴ (هیگن^۵، ۱۹۸۲ و میلیگان^۶ و همکاران، ۱۹۷۸)، تحلیل سرعت و وارون Q (جونز^۷، ۱۹۸۵) از جمله این کاربردها

می‌باشند. ماتریس کوارینس تریس‌های اولیه و بردارهای ویژه آن بصورت زیر تعریف می‌شوند

$$C = XX^T \quad \text{یا} \quad c_{ij} = \int_0^T x_i(t)x_j(t) dt \\ Cr_j = \lambda_j r_j$$

که در آن c_{ij} اعضاء ماتریس کوارینس C (در تاخیر صفر) و λ_j مقدار ویژه متناظر بردار ویژه r_j می‌باشد. پس با محاسبه ماتریس R و به داده‌های ورودی (در تاخیر صفر)، ماتریس R و به دنبال آن ماتریس‌های A و B به ترتیبی که گفته شد بدست خواهد آمد. بر پایه نتایج فوق می‌توان روابط (۱) و (۲) را بصورت زیر هم بیان کرد

$$Y = R X \quad X = R^T Y \quad (6)$$

این روابط بعنوان زوج معادلات تبدیل L برای داده‌های چندکاناله محسوب می‌شوند. ارتباط دو ماتریس C و R با استفاده از تجزیه طیفی^۸ بصورت زیر بدست خواهد آمد

$$C = R \Lambda R$$

که در آن Λ یک ماتریس قطری به طول n بوده بطوری که اعضاء قطر آن (یعنی مقادیر ویژه λ_i) بصورت نزولی مرتب شده‌اند

$$\Lambda = \text{diag}(\lambda_1, \lambda_2, \dots, \lambda_n) \quad \lambda_1 \geq \lambda_2 \geq \dots \geq \lambda_n$$

مقادیر ویژه λ_i از طرفی نشان‌دهنده سهم هر یک از تریس‌های $(t) Y_j$ در بازسازی رکورد اولیه $(t) X_i$ بوده و از طرف دیگر هر کدام از این مقادیر ویژه بیانگر انرژی (یا واریانس) تریس متناظرش از مجموعه $(t) Y_j$ می‌باشد. از این‌رو می‌توان نتیجه

1. spectral decomposition 2. Levy
3. Ulrych 4. Mace
5. cluster analysis 6. Hagen
7. Miligan 8. Jones

متعامد بکار رفته نشان داده شده است. همانطور که از شکل ۲ پیداست، به ازای هر چشم متعادل ۹۶ گیرنده فعال وجود داشته است. به عبارت دیگر هر رکورد لرزه‌ای با چشم مشترک شامل ۹۶ تریس بوده که نمونه‌ای از آن در شکل ۱ نشان داده شده است. جزیيات بیشتر در مورد متغیرهای برداشت، مراحل پردازش و نتایج حاصله در مقاله سیاهکوهی و وست^۲ (۱۹۹۸) ارایه شده است.

بر خلاف برداشت‌های دو بعدی، در برداشت لرزه‌ای سه بعدی بخاطر توزیع سطحی موقعیت چشمها و گیرندها امکان نمونه برداری یکنواخت در حیطه مکان از امواج رسیده وجود ندارد. شاهد این واقعیت رکورد نشان داده شده در شکل ۱ می‌باشد. در این رکورد جاهایی که تریسهای مربوط به گیرندهای اول و آخر دو کابل در کنار هم قرار گرفته‌اند، عدم یکنواختی نمونه برداری بصورت پرشهای ناگهانی در زمان رسید امواج مشاهده می‌شوند. همین امر در مورد نقاط مشترک میانی (CMP) هم صادق می‌باشد.

به منظور محاسبه ماتریس کوارینس در تاخیر صفر، قبل از انجام تبدیل L-K می‌بایست تصحیح بروزناند خطی^۳ بر روی رکوردهای لرزه‌ای چشم مشترک اعمال می‌شد تا موجکهای مربوط به امواج هوا در این رکوردها بصورت افقی درآمده و از تریسی به تریس دیگر قابل ردیابی شوند. انجام بروزناند خطی ایجاب می‌کرد که سرعت انتشار موج در محیط مورد نظر تعیین شود. معمولاً سرعت انتشار امواج تراکمی در هوا با تقریب خوبی معلوم است، از این‌رو برای انجام بروزناند خطی کافی بود زمان سیر موج هوا از چشم به گیرنده مورد نظر محاسبه شده وسیس از زمان رسید تریس

می‌باشد. در این مطالعه از این تبدیل بعنوان روشی مستقل از یکنواختی فاصله نمونه برداری (در حیطه مکان) برای حذف نوفه‌های همدوس حاصل از چشم لرزه‌ای استفاده شده است.

علاوه بر نوفه‌های محیطی (حاصل از وزش باد، تردد وسائل نقلیه و فعالیت دستگاه‌های مکانیکی) انواع مختلفی از امواج کشسان در مطالعات لرزه‌نگاری توسط گیرندها ثبت می‌شوند. بعنوان نمونه می‌توان به امواج سطحی، امواج هوا و امواج بازتابی اشاره کرد (شکل ۱). امواج بازتابی بخاطر انتشار در لایه‌های زیر سطح زمین حاوی اطلاعات مفید از ساختار زمین‌شناسی منطقه مورد مطالعه می‌باشند. بر عکس، امواج هوا نه تنها اطلاعات مفیدی از اهداف زیرزمینی ندارند بلکه بخاطر سرعت انتشار پایینی که دارند بصورت پوششی بر روی امواج بازتابی در رکوردهای لرزه‌ای ظاهر می‌شوند. از این‌رو حذف این امواج و امواج سطحی از ضروری‌ترین مراحل پردازش داده‌های لرزه‌ای خاصه داده‌های لرزه‌ای مهندسی می‌باشد.

داده‌های لرزه‌ای بازتابی سه بعدی مورد بحث در این مطالعه با استفاده از آرایش متعامد چشم و گیرنده در منطقه‌ای واقع در شرق شهر تورنتو (کانادا) برداشت شده‌اند. در این فاصله موقعیت چشم‌های مجاور از هم ۶ متر و فاصله موقعیت گیرنده‌های مجاور از هم ۳ متر تعیین شدند. رکوردهای صحراوی با فاصله نمونه برداری ۱۲۵/۰ میلی ثانیه و با استفاده از لرزه‌نگار ۹۶ کاناله OYO-GEOSPACE مدل ۱- DAS گردیدند. در طول برداشت از Buffalo gun گلوله شکاری کالیبر ۱۲ بعنوان انرژی لرزه‌ای استفاده شد. در شکل ۲ محدوده فعال^۱ از آرایش

1. active patch
3. linear moveout

2. Siahkoohi & West

مقیاس مهندسی برای اهداف مختلفی می‌توان از این تبدیل استفاده کرد. ماتریس‌های تبدیل و عکس تبدیل بسادگی با تعیین بردارهای ویژه ماتریس کواریانس داده‌های ورودی (در تا خیر صفر) بدست می‌آیند.

قدردانی
از داوران محترم بخاطر پیشنهادات سازنده‌ای که ارایه فرمودند تشکر و قدردانی می‌شود.

منابع

- Ahmed, N., and Rao, K. R., 1975, Orthogonal transforms for digital image processing: Springer, Berlin, 189-224.
- Hagen, D. C., 1982, The application of principal components analysis to seismic data sets: *Geoexploration*, **20**, 93-111
- Hemon, C. H., and Mace, D., 1978, Use of the Karhunen-Loeve transformation in seismic data processing: *Geophys. Prosp.*, **26**, 600-625.
- Hotelling, H., 1933, Analysis of complex statistcal variables into principal components: *J. Educ. Psychol.*, **24**, 417-438 and 498-520.
- Jones, I. F., 1985, Application of the Karhunen-Loeve Transformation in reflection seismology: ph. D. Thesis, University of British Columbia, Vancouver, Canada.
- Karhunen, K., 1947, Über lineare methoden in der wahrscheinlichkitesrchnung: Ann.

مربوطه‌اش کسر گردد. همانطور که در شکل ۴ نشان داده شده است پس از اعمال این تصحیح موجکهای مربوط به امواج هوا در رکوردهای لرزه‌ای چشمۀ مشترک بصورت افقی ظاهر شده‌اند.

به منظور کاهش حجم و زمان محاسبات، تبدیل K-L فقط بر روی پنج‌رها از رکوردهای لرزه‌ای انجام شد که امواج هوا پس از برونزاند خطی در آن محدوده مرکز شده بودند (مثل قسمت نشان داده شده در شکل ۴). با توجه به میزان همدوسي امواج هوا در رکوردهای لرزه‌ای چشمۀ مشترک پس از اعمال برونزاند خطی، برای بازسازی مجدد آنها استفاده از پنج مولفه اصلی یا تریس اول حاصل از تبدیل K-L کفایت نمود. نمونه‌ای از رکورد بازسازی شده حاوی امواج هوا در شکل ۵ نشان داده شده است. در ادامه پس از منها نمودن امواج هوای بازسازی شده از رکورد اولیه، برونزاند خطی اعمال شده نیز برداشته شد و در نتیجه رکورد عاری از امواج هوابدست آمد. شکل ۶ نمونه‌ای از رکورد لرزه‌ای چشمۀ مشترک را پس از حذف امواج هوا به روی که گفته شد نشان می‌دهد. همانطور که مشاهده می‌شود امواج هوا بدون هیچگونه اثر مخبری بر روی سایر قسمتها رکورد کاملاً حذف شده‌اند.

۵ نتیجه

این مطالعه نشان داد که تبدیل K-L روشی موثر برای تفکیک انرژی لرزه‌ای همدووس از غیر همدووس در رکوردهای لرزه‌ای می‌باشد. همچنین نشان داد که محدودیت یکنواخت بودن فاصله نمونه‌برداری در حیطه مکان برای این تبدیل مطرح نمی‌باشد. در پردازش‌های لرزه‌ای سه بعدی در

و استفاده از آن در پردازش داده‌های Loeve لرزه‌ای بازتابی: خلاصه مقالات دهمین کنفرانس ژئوفیزیک ایران، ۱۷ تا ۱۹ آبان ۱۳۷۸، ۲۰۲-۲۰۳.

Acad. Sci. Fenn.. (Suomalainen Tiedekatemia), 37, 1-79. (Translation by I. Selin, 1960: "on linear methods in probability theory," T-131 RAND Corp., Santa Monica, California).

Kramer, H. P., and Mathews, M. V., 1965, A linear coding for transmitting set of correlated signals, IRE Transaction on Information Theory, IT-2, 4-46.

Levy, S., Ulrych, T. J., Jones, I. F., and Oldenberg, D. W., 1983, Applications of complex common signal analysis in exploration seismology: Proceedings of the 53rd Annual SEG meeting Las. Vegas, S6.5.

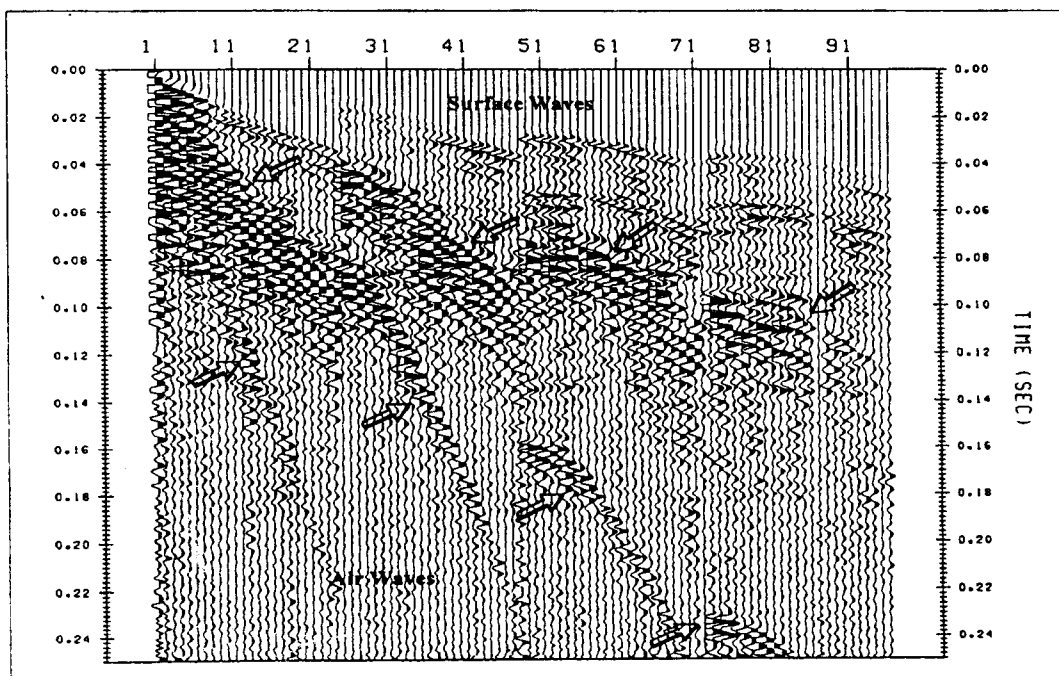
Loeve, M., 1955, Probability theory: D. van Nostrand, Newyork.

Miligan, S. D., Le Blance, L. R., and Middleton, F. H., 1978, Statistical grouping of acoustic reflection profiles: J. Acoust. Soc. Am., **64**, 3, 795-805.

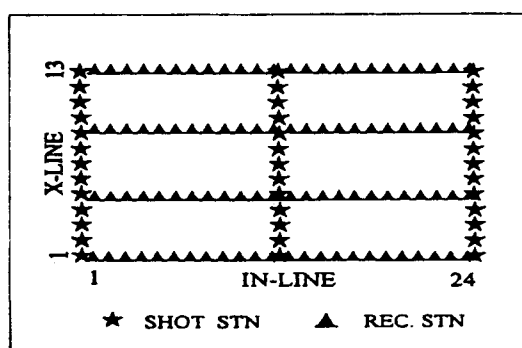
Siahkoohi, H. R., and West, G. F., 1998, 3-D seismic imaging of complex structures in glacial deposits: Geophysics, **63**, 1041-1052.

Ulrych, T. J., Levy, S., Oldenberg, D. W., and Jones, I. F., 1983, Applications of Karhunen- Loeve Transformation in reflection seismology: Proceedings of the 53rd Annual SEG meeting. Las Vegas, S6.5.

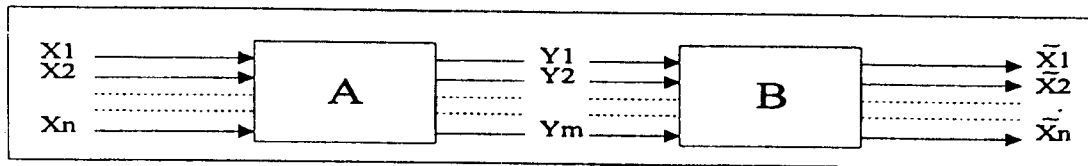
سیاهکوهی، ح. ر.، ۱۳۷۸، تبدیل Karhunen-



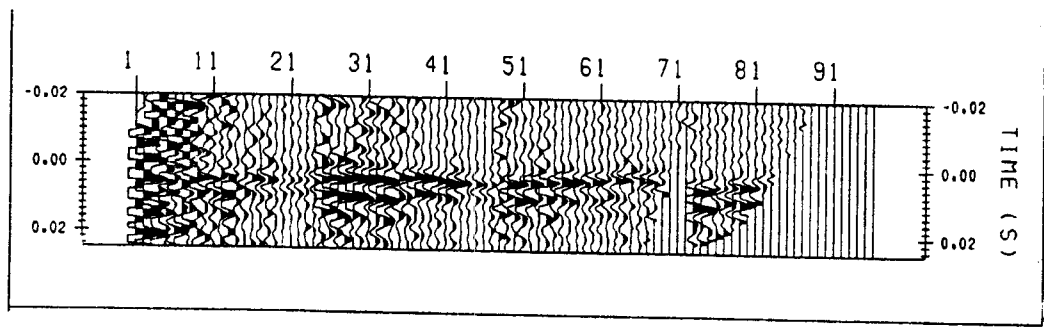
شکل ۱. نمونه‌ای از رکورد لرزه سه‌بعدی چشمی مشترک. این رکورد توسط ۹۶ گیرنده موج P (هر ۲۴ گیرنده متصل به یک کابل گیرنده) ثبت شده است. آرایش گیرنده‌ها در شکل ۲ نشان داده شده است. داده‌ها خام بوده و هیچ پردازشی روی آنها اعمال نشده است. دو نوع نویه لرزه‌ای همدوس موسوم به امواج هوا و امواج سطحی در شکل مشخص شده‌اند.



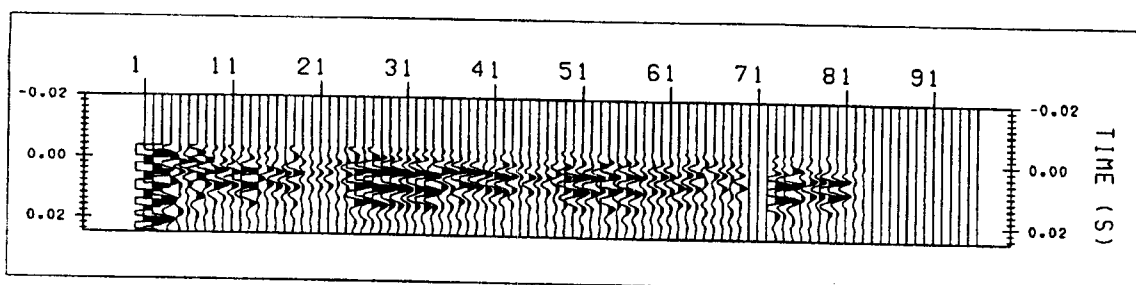
شکل ۲. محدوده فعال از آرایش چشمی و گیرنده نوع متعارف که در برداشت داده‌های لرزه‌ای سه‌بعدی مورد استفاده قرار گرفته است. محدوده شامل چهار خط (یا کابل) گیرنده هر کدام با ۲۴ ایستگاه و سه خط چشمی هر کدام با ۱۳ ایستگاه می‌باشد. همانطور که مشاهده می‌شود توزیع موقعیت چشمی‌ها و گیرنده‌ها سطحی می‌باشد.



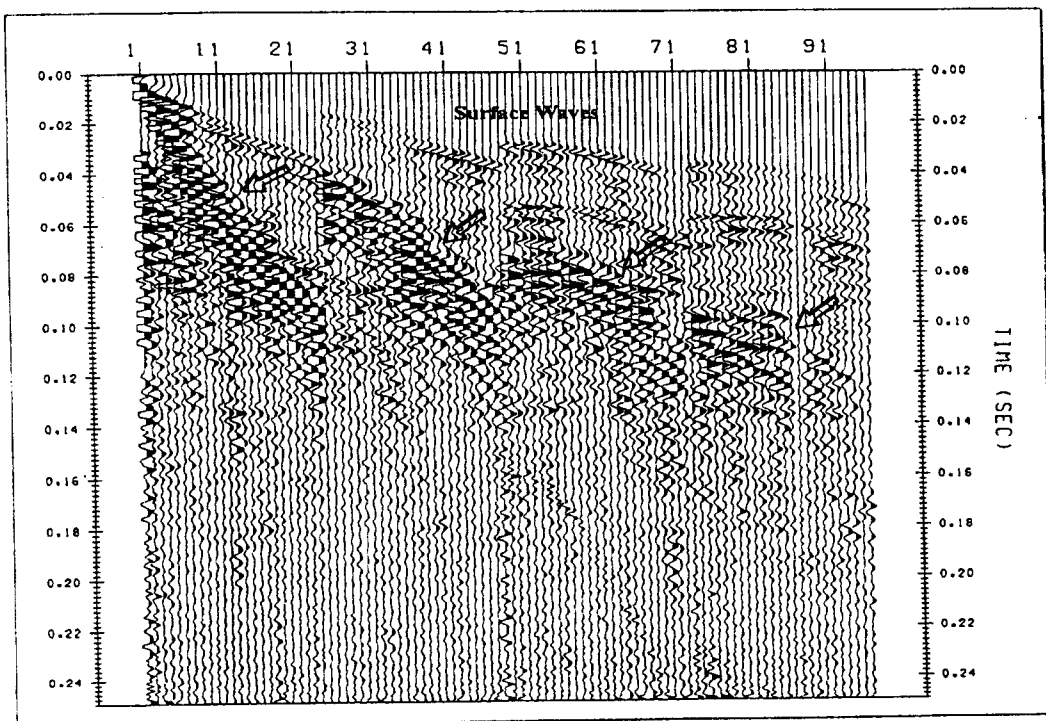
شکل ۳. نمایش ترسیمی مفهوم بازسازی بخش همدوس از داده‌های ورودی با استفاده از تعداد محدودی (مثلثاً m) از تریس‌ها یا مولفه‌های اصلی حاصل از تبدیل L-K-L. در اینجا A ماتریس تبدیل و B ماتریس عکس تبدیل بوده و X و Y به ترتیب رکورد ورودی و رکورد حاصل از تبدیل می‌باشند.



شکل ۴. انرژی لرزه‌ای مربوط به امواج هوا پس از (LMO) با استفاده از سرعت انتشار اعمال بروزاند خطی صوت در هوا. همانطور که مشاهده می‌شود امواج هوا تقریباً افقی شده و برآحتی قابل رديابی از یک تریس به تریس دیگر می‌باشد.



شکل ۵. انرژی لرزه‌ای مربوط به امواج هوا که با استفاده از پنج تریس (یا مولفه اصلی) اول حاصل از تبدیل K-L بازسازی شده است. مقایسه این رکورد با رکورد شکل ۴ نشانگر کارآیی تبدیل L-K-L در بازسازی قسمت همدوس از انرژی لرزه‌ای در رکوردهای لرزه‌ای ورودی می‌باشد.



شکل ۶. رکورد لرزه‌ای سه بعدی چشمی مشترک نشان داده شده در شکل ۱ پس از حذف امواج هوا با استفاده از تبدیل K-L